

## ELEKTRON-MIKROSKOPICKÉ ŠTUDIUM ODPAROVÝCH ŠTRUKTÚR NaCl-KRYŠTÁLOV DOTOVANÝCH DVOJMOČNÝMI KATIONMI

GABRIEL VLASÁK, Bratislava

### ÚVOD

Bassett v práji [1] upozornil na to, že pri naparovovaní zlata na štiepnú plochu NaCl dochádza k dekorovaniu štiepnych stupňov kryštálkmi zlata. Tento jav využil Bethe [2] na štúdium tepelne leptaných kryštálov vo vysokom vákuu. Takýmto spôsobom študoval čiarové poruchy kryštálovej mriežky — dislokácie.

Typický príklad odparovej štruktúry čistého kryštálu zobrazuje obr. 1, kde vidieť leptovú špirálu okolo skruktkovej dislokácie s Burgersovým vekto-



Obr. 1. Odparové štruktúry nedotovaného kryštálu NaCl. Odparovacie podmienky:  
vysoké vákuum, 475 °C, 30 min. Dekorácia zlatom, zväčšenie 25 000×.

rom  $\alpha < 100^\circ$ . Bethge tiež upozornil, že u  $\text{NaCl} : \text{CaCl}_2$  kryštálov sa odparová štruktúra mení tak, že sa na lantelových hranach objavujú nepravidelnosti, ktoré najlepšie opiseme ako výbežky. Aby sme dostali všeobecnejší prehľad o vplyve dvojmočenných kationov na odparové štruktúry, študovali sme odparové štruktúry kryštálov dotovaných Mg, Be, Zn a Ba, ktoré sa od seba líšia iónovým polomerom.

#### EXPERIMENTÁLNY POSTUP

Kryštály sme vypestovali Kyropulsou metódou v dusíkovej atmosfére. Katióny sme pridávali do taveniny v tvare chloridu príslušného prvku. Počet pridaných kationov určuje pomer:

$$A = \frac{\text{počet } \text{M}^{2+}}{\text{počet } \text{Na}^+}.$$

S tým istým druhom kationov sme vypestovali vždy tri kryštály s koncentráciami v tavenine  $A = 10^{-5}$ ,  $10^{-4}$ ,  $10^{-3}$ . Vypestované kryštály sú súčasne s pecou. Toto ochladzovanie vysokom vákuu, rádu  $10^{-5}$  torr.

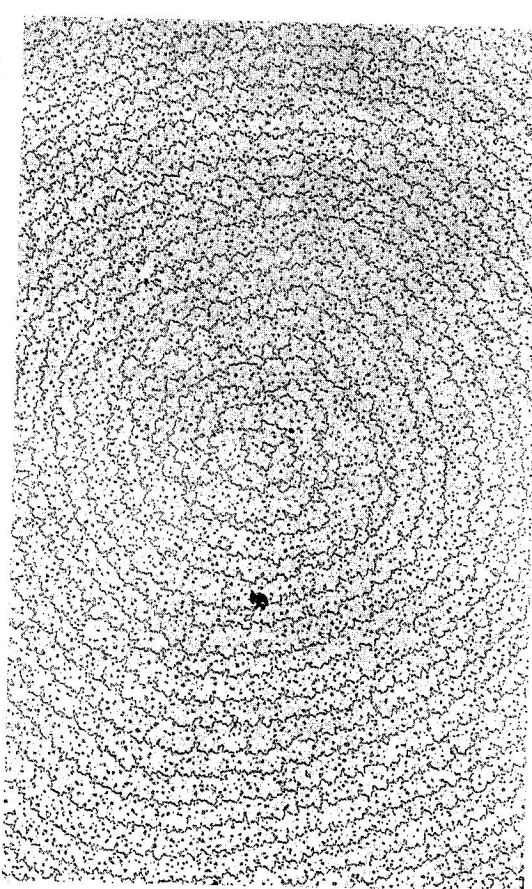
Na získanie tohto vákuu sme použili ortuťovú difúznu vývodu s vymrazovacou a jednostupňovú rotačnú olejovú vývedu. Pracovný priestor tvorila kovová príruba so skleným recipientom. Na prírube sme umiestili zariadenie na odparovanie zlata a uhlíka. Nad týmto zariadením asi vo výške 10 cm sme upevnili piecku, zhodiacenú z medi a vyhrievanú kantalovým drôtom, v ktorej sa zohrieva vzorka. Na meranie sme použili NiCr-Ni termočiánok, vložený do otvoru v medenom bloku pece.

Pri práci sme postupovali takto: čerstvo odštiepnutý kryštál  $12 \times 6 \times 3$  mm sme vložili do piecky. Pracovný priestor sa vyčerpal na vákuum cca  $10^{-5}$  torr. Potom sme začali vyhrievať piecku až na teplotu  $475-500^\circ\text{C}$ . Pri tejto teplote sme kryštály temperovali asi  $15-30$  min. Po skončení temperácie sa piecka zlato a po nôm uhlík. Naparenú uhlíkovú repliku so zlatom sme potom v reštičovanej vode od kryštálu oddelili a položili na elektrón-mikroskopickú nosnú sieťku a pozorovali elektrónovým mikroskopom.

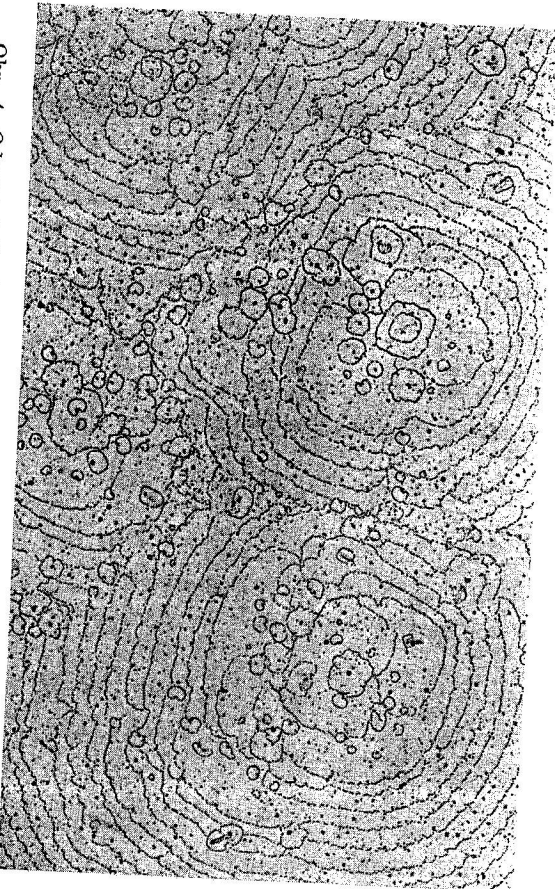
#### VÝSLEDKY POZOROVANIA

Ako sme už uviedli, povrchovú štruktúru, ktorá vzniká pri tepelnom leptaní vo vysokom vákuu, podrobne opisuje práca Bethgeho [2].

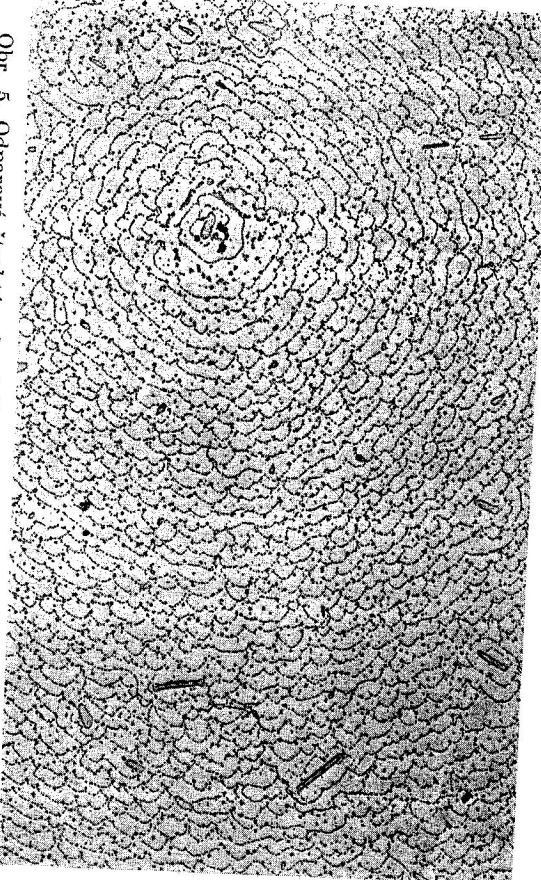
Obr. 2. Odparová štruktúra kryštálu  $\text{NaCl} : \text{ZnCl}_2$ ,  $A = 10^{-3}$ . Odparovacie podmienky: vysoké vákuum,  $475^\circ\text{C}$ , 30 min. Dekorácia zlatom, zväčšenie  $20\,000\times$ .



Obr. 3. Odparová štruktúra kryštálu  $\text{NaCl} : \text{BaCl}_2$ ,  $A = 10^{-5}$ . Odparovacie podmienky: vysoké vákuum,  $475^\circ\text{C}$ , 30 min. Dekorácia zlatom, zväčšenie  $20\,000\times$ .



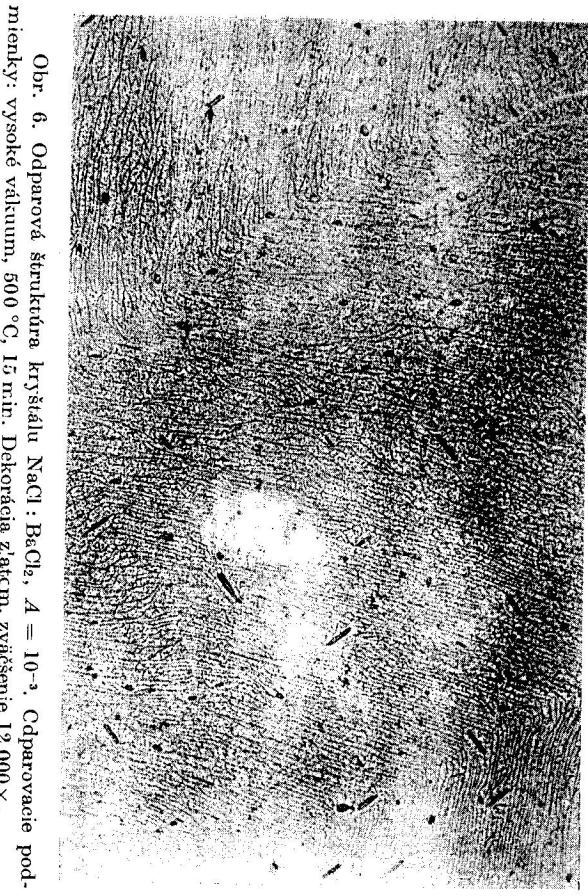
Obr. 4. Odparová štruktúra kryštálu  $\text{NaCl} : \text{BaCl}_2$ ,  $A = 10^{-3}$ . Odparovacie podmienky: vysoké vákuum,  $475^\circ\text{C}$ , 30 min. Dekorácia zlatom, zväčšenie  $20\,000\times$ .



Obr. 5. Odparová štruktúra kryštálu  $\text{NaCl} : \text{BaCl}_2$ ,  $A = 10^{-3}$ . Odparovacie podmienky: vysoké vákuum,  $475^\circ\text{C}$ , 30 min. Dekorácia zlatom, zväčšenie  $20\,000\times$ .

Kryštály dotované  $\text{Mg}, \text{Be}$  a  $10^{-5}$  a  $10^{-4} \text{Zn}^{2+}$  z tohto hľadiska neukazujú pozorovateľný rozdiel odparových štruktúr od nedotovaných kryštálov. Naproti tomu kryštál dotovaný  $10^{-3} \text{Zn}^{2+}$  značne poruší lamelovú hranu: lamelová hraná je pilovite rozstredená nepravidelnými výbežkami smerujúcimi do stredu odparovanej štruktúry. Zachováva sa však stredná vzdialenosť lamiel a na lamielach pozorujeme malé ostrovčeky vytvorené kryštálikmi zlata (obr. 2). Pri kryštáloch dotovaných  $10^{-3} \text{Ba}^{2+}$  pozorujeme zasa vytvorenie malých výbežkov, ktoré smerujú do stredu odparovej štruktúry. I tu sa stredná štruktúra zachováva (obr. 3). Pri kryštáloch dotovaných  $10^{-4} \text{Ba}$  pozorujeme podobne ako pri predoslovnom výbežky a male ostrovčeky ako pri  $10^{-3} \text{Zn}$ . Okrem toho sa tu vyskytujú i väčšie kružky. Ich počet je najväčší v okolí hranovej dislokácie. Vo väčšine týchto kružiek sú v ich strede miesta, kde je zlato difúzne uložené — nedekoruje (obr. 4).

Zaujímavá je odparová štruktúra kryštálov dotovaných  $10^{-3} \text{Ba}^{2+}$ . Pozorujeme tu veľké množstvo nímalých ostrovčekov, ktoré sú na špeie výbežku a fri postupne hranovej hraná sa výbežok za nimi uzavrie a oni ostanú na lamele. Prítom ešte vidieť útvary tvaru tyčiňiek, ktoré majú dĺžku asi  $0,4$ — $1,0 \mu\text{m}$  a šírku od  $0,2 \mu\text{m}$ . Tieto útvary sú prasne ohrianičené kryštálikmi zlata a vo vnútri je zlato difúzne rozdelené (obr. 5). Tieto útvary sa nachádzajú v jediných dislokáciach, ale aj mimo dislokácie. V jediných dislokáciach však nemajú typický



Obr. 6. Odparová štruktúra kryštálu  $\text{NaCl} : \text{BaCl}_2$ ,  $A = 10^{-3}$ . Odparovacie podmienky: vysoké vákuum,  $500^\circ\text{C}$ , 15 min. Dekorácia zlatom, zväčšenie  $12\,000\times$ .

tyčinkový tvar, ale sú približne rovnaké všetky rozmery kolmé na distlokačnú čiaru.) Tyčinky sa vo väčšine prípadov orientujú v smerech  $\langle 110 \rangle$  (obr. 6).

#### DISKUSIA VÝSLEDKOV

To, že sa nedá pozorovať rozdiel tvaru odparových štruktúr kryštálov dotovaných  $Mg^{2+}$  a  $Be^{2+}$  a  $10^{-5}$  a  $10^{-4}$   $Zn^{2+}$  od odparových štruktúr nedotovaných kryštálov, možno vysvetliť tým, že rozdeľovací koeficient tavenina:  $Ba^{2+}$  a tyčinek pri kryštáloch s  $10^{-3}$   $Ba^{2+}$  dokazuje, že sa na týchto miestach nachádza nejaká iná látka odlišná od  $NaCl$ .

Vznik vybežkov na lamelovej hrane možno vysvetliť tak, že sú to miesta k zabrdeniu odparovačieho procesu (poromaj Bethge [2]). Tak možno vysvetliť aj ostrovčeky. Vznikli už v ňom ustupujúcej lamelovej hrane za výbežkom. Väčšiu väzbovou energiu týchto miest vytvárajú dvojmené primesné ióny, a ďalej celé skupiny primesných ionov.

Pri kryštáloch dotovaných bájom dochádza ku zmene odparových štruktur už pri koncentrácií  $A = 10^{-5}$ . Z práce Gründiga [3] je známe, že rozdeľovací koeficient tavenina: kryštál pre bárium je asi 0,6. Z toho vyplýva, že kryštálu sa dostane pomereľne dost bária. Výbežky pri týchto kryštáloch sú menšie ako pri  $Zn$ . Môžeme to vysvetliť tak, že iónový polomer bária.

<sup>1)</sup> O rozmeroch týchto útvarov v smere distlokačnej čiaru možno povedať iba to, dílcej dislokacie.

<sup>2)</sup> Bod tavenia  $BeCl_2$  je  $440^\circ C$  a bod varu  $520^\circ C$ ; pre  $ZnCl_2$  je bod tavenia  $262^\circ C$ , podobne dochádza k ich odparovaniu z taveniny. Iné možné vysvetlenie môže dať práca J. Ecksteina a A. Bohuna [4]. V práci sa hovorí o tom, že v alkaličkej tavenine dochádza k reakcii medzi primesos a  $OH^-$  skupinami podľa vzorca



Pri teplote nad  $400^\circ C$  totiž dochádza k hydrolyze s vodou nachádzajúcou sa na zrnkách  $NaCl$  alebo s vodou nachádzajúcou sa vo vzduchu. Vzniknuté kysličníky sú len veľmi malo v kryštáli rozpustné, a preto oslavajú ako zvyšok v tavenine. Pravé spomínané prvé majú veľkú snahu vstupovať do tejto reakcie.

je asi o 42 % väčší ako iónový polomer sodíka a deformuje tak veľmi mriežku. Vplyv iónového polymeru pôsobí proti dvojnásobnému náboju iónu. Tvorba obrazcov s difúzne rozloženým zlatom v strede krúžkov pri kryštáloch s  $10^{-4}$   $Ba^{2+}$  a tyčinek pri kryštáloch s  $10^{-3}$   $Ba^{2+}$  dokazuje, že sa na týchto miestach

Podobný úkaz na kryštáloch dotovaných 0,3 mol %  $BaCl_2$  v tavenine pozorovali Kornfeld a Abaei [5] pomocou svetelného mikroskopu. Tito autori sa domnievajú, že tyčinkovité útvary sú dutiny v kryštáli. Argumentujú, že tu nemôže íst o vyzrážaný  $BaCl_2$ , lebo tento by sa svetelným mikroskopom nedal pozorovať v dôsledku malého rozdielu indexov lomu monokryštálov  $NaCl_2$  a  $NaCl$ .  
Z našich pozorovaní jasne vyplýva, že ide o cudzu fázú.

#### ZÁVER

Z práce vyplýva, že dekoračnou metodou a tepelným leptaním kryštálov možno získať presnejšie informácie o výrobe cudzích iónov do mriežky a o ich vplyve na susedné ióny a o deformácii mriežky.

#### LITERATÚRA

- [1] Bassett E. A., Phil Mag. 3 (1958), 1042.
- [2] Bethge H., Phys. Status Solidi 2 (1962), 3.
- [3] Gründig H., Wassermann E., Zeitschrift für phys. (1963), 293.
- [4] Eckstein J., Bohun A., Hašek M., Wachtl Z., Sborník referátov seminára o monokryštáloch v Turnove 1963, 40.
- [5] Абаев М. И., Коерфельд М. И., Физика твердого тела 7 (1965), 2809.

Došlo 7. 3. 1967

Fyzikálny ústav SAV,  
Bratislava

ELEKTRONENMIKROSKOPISCHE UNTERSUCHUNG  
DER ABDAMPFSTRUKTUREN  
DER MIT ZWEIWERTIGEN KATIONEN DOTIERTEN  
NaCl-KRISTALLE

Gabriel Vlasák

Zusammenfassung

In der Arbeit wird die beim Studium von Abdampfstrukturen im Hochvakuum thermisch geätzter NaCl-Kristalle benutzte Experimentatechnik beschrieben. Ferner erörtert man die Ergebnisse der Untersuchung von Abdampfstrukturen der mit zweiwertigen Kationen ( $\text{Be}^{2+}$ ,  $\text{Mg}^{2+}$ ,  $\text{Zn}^{2+}$ ,  $\text{Ba}^{2+}$ ) dotierten NaCl-Kristalle. An den Abdampflamellen zeigen sich charakteristische Veränderungen, die den eingeübten Fremdionen zuzuschreiben sind und bei höheren Konzentrationen von  $\text{Ba}^{2+}$  wurde orientierte Präzipitation festgestellt.